

## کاربرد روش مگنتوتلوریک در اکتشاف مخازن زمین‌گرمایی با مثالی از ایسلند

بهروز اسکوئی<sup>۱\*</sup> و سیدمسعود انصاری<sup>۲</sup>

<sup>۱</sup> استادیار، گروه فیزیک زمین، مؤسسه زئوفیزیک دانشگاه تهران، ایران  
<sup>۲</sup> دانش آموخته، گروه فیزیک زمین، مؤسسه زئوفیزیک دانشگاه تهران، ایران

(دریافت: ۸۸/۳/۹، پذیرش نهایی: ۹۰/۷/۱۹)

### چکیده

روش مگنتوتلوریک (زمین‌مغناطیسی) یک روش اکتشافی غیرفعال (Passive) زئوفیزیکی در اکتشاف مخازن زمین‌گرمایی (Geothermal) است که از طیف وسیعی از تغییرات ژئومغناطیسی در حکم منشأ القای الکترومغناطیسی در زمین استفاده می‌کند. این روش، به‌ویژه وقتی که اکتشاف آب‌های زیرزمینی عمیق برای روش‌های الکتریکی امکان‌پذیر نیست، سودمند واقع می‌شود. در این مقاله، نقش روش مگنتوتلوریک در اکتشاف این مخازن تجدیدپذیر و شرایط متفاوت زمین‌شناسی که این مخازن ممکن است در آنها شکل گیرند مورد بحث قرار می‌گیرد. همچنین یک مثال عملی اخیر نیز از کاوش‌های منابع زمین‌گرمایی با استفاده از روش مگنتوتلوریک در منطقه ایسلند عرضه می‌شود. کشور ایسلند به دلیل واقع شدن روی پشتنه میان‌آقیانوسی اقیانوس اطلس، وجود نواحی ریفتی و گسل‌های ترا迪سی (Transform)، یک منطقه فوق العاده فعال از نظر زمین‌ساختی و ماگماتیکی است. در سال ۲۰۰۰ داده‌های مگنتوتلوریک به منظور مشخص کردن ساختارهای زیرزمینی عمیق بین دو میدان زمین‌گرمایی همسایه به نام‌های هنگیل (Hengill) و برنسنیسفسیول (Bernsnsteinsfjoll) برداشت شد که نتایج مدل سازی یک‌بعدی و دو‌بعدی حاصل از برگردان این داده‌ها داده می‌شود. توالی لایه‌ها در مدل نهایی دو‌بعدی به دست آمده از وارون‌سازی، به ترتیب از سطح شامل بازالت مخلخل دگرسان نشده، زون اسمکتیت-زئولیت با رسانایی زیاد و زون اپیدوت-کلریت با رسانایی کمتر است. همچنین یک ماده با رسانایی زیاد در مرکز نیمرخ و در عمق ۵ کیلومتر مشاهده می‌شود که می‌توان آن را پدیده ذوب بخشی در حال خنک شدن و در حکم منبع اصلی گرمایی این سامانه زمین‌گرمایی تفسیر کرد. در پایان یک مدل عام برای مخازن زمین‌گرمایی منطقه عرضه شده است.

واژه‌های کلیدی: مگنتوتلوریک، زمین‌گرمایی، مقاومت ویژه الکتریکی، وارون‌سازی، هنگیل، برنسنیسفسیول و ایسلند، اسمکتیت-زئولیت، اپیدوت-کلریت

## Application of Magnetotelluric method in exploration of geothermal reservoirs with an example from Iceland

Oskooi, B.<sup>1</sup> and Ansari, S. M.<sup>2</sup>

<sup>1</sup> Assistant Professor, Earth Physics Department, Institute of Geophysics, University of Tehran, Iran

<sup>2</sup> Master Graduate, Institute of Geophysics, University of Tehran, Iran

(Received: 30 May 2009, Accepted: 11 Oct 2011)

### Abstract

Magnetotellurics (MT) is a geophysical passive technique for exploring geothermal reservoirs. It utilizes a broad spectrum of natural geomagnetic fields for electromagnetic induction in the Earth. This method is also preferred over DC-resistivity methods, particularly where the exploration of subsurface deep aquifers is considered. The role of MT method in the exploration of geothermal reservoirs is highlighted in this paper.

As a practical example, it focuses on the results of a recent MT study performed on a geothermal region in Iceland. Because it is crossed by the Mid-Atlantic Ridge and its associated rift and fault zones, Iceland is very active both tectonically and magmatically.

In order to determine the deep structure between two neighboring geothermal fields: *Hengill* and *Brennisteinsfjoll* MT data were collected. one- and two- dimensional inversions of these data are done and the results are presented. In a good agreement with geological information, the two-dimensional inversion model declares a highly conductive Smectite-Zeolite zone followed by a less conductive Epidote-Chlorite zone. Also, a highly conductive deep zone is seen in the middle of the profile which is interpreted as a cooling partial melt representing the main heat source of the geothermal system.

**Introduction:** Geothermal resources are renewable source of heat and of economic interest. Geophysical exploration of geothermal fields using electromagnetic (EM) methods has received increased attention over the past few years. The electrically conductive water reservoir surrounded by a relatively resistive host is efficiently imaged using EM methods. In particular, because of its capability in the large-scale imaging of lateral conductivity variations and greater depth of investigation, Magnetotellurics (MT) is preferred over

other electromagnetic methods. The main focus of the paper presented here is one- and two- dimensional interpretation of the MT data over a geothermal field in South-West of Iceland.

**Geothermal systems:** Geothermal gradient and thermal conductivity of rocks are chief elements which cause the heat flow within the Earth crust. In addition, both conduction and convection processes occur within a geothermal field. Because of density differences caused by varying temperature, water moves within the reservoir by convection. Also, the conduction process gives a linkage between the magma body and permeable reservoir rocks (Barbier, 2002). Through four types of geothermal systems introduced in this paper, we focused on the hydrothermal system and discussed its two Water-dominated and Vapor dominated types.

**Geological settings:** The Icelandic crust is mostly of volcanic origin, with both intrusive and extrusive rocks (mainly oceanic-type flood basalts, tuffs, hyaloclastites and some acidic rocks) that were erupted under rift conditions (Sæmundsson, 1979). The main geological features and distribution of geothermal systems are shown in Fig 1. As it is shown in Fig 1. geothermal fields occur in regions of young volcanism and along active plate boundaries. Because the abundant geothermal systems in Iceland are the results of volcanic activities, two basic models of alteration associated with volcanic geothermal systems: Acid sulfate and Adularia sericite are also presented (Fig 2).

**MT Data acquisition:** In September 2000, an MT survey was carried out at 21 sites along a 12 km line in southwest Iceland (Fig 1). The MT profile is almost perpendicular to the axis of the active tectonics and volcanism, and in correspondence of the high-temperature systems of the *Hengill* volcanic complex and the *Brennisteinsfjoll* geothermal area.

**Inversion and Interpretation:** 1D inversion of determinant impedance data and 2D inversion of joint TE- and TM- mode data are performed. As it is shown by the 1D inversion results in Fig 5-a, a top resistive layer with a resistivity value greater than 100 ohm-m changes to a conductive structure of about 10 ohm-m. Also, a transition into a more resistive zone is seen at about 1.2 km depth. This resistive unit with a thickness of 2 km changes into a conductive structure at a depth of 4 km. As for the 2D inversion results, a resistive layer ( $>400$  ohm-m) is recognized at the top (Fig. 6-b). The second layer is very conductive ( $<10$  ohm-m), and shows a variable thickness along the 2D section, passing from a few hundred meters at Site 20 to about 1800 m at Site 03. Below

this conductor there is an increase in resistivity with depth along the whole profile. The southern part of the profile is characterized by a high resistivity ( $\geq 1000$  ohm-m) basement, whereas in the middle of the profile the top conductive layer ( $<10$  ohm-m) is followed by a resistive layer (30–100 ohm-m), which in turn is overlying a very conductive structure ( $<5$  ohm-m). The very resistive layer at the top can be interpreted as the porous basalt layer near the surface. At about 400 m depth, the conductive layer, showing variable thickness along the profile, is most naturally interpreted as the smectite–zeolite zone. The less conductive zone below this conductor is interpreted as the chlorite–epidote mineralization zone. Considering the characteristics of the neovolcanic zone in Iceland, this conductive bulk ( $<5$  ohm-m) located at the middle of the profile, can be interpreted as either partial melt or a porous region with hot ionized fluids located on top of a magmatic heat source. Since this conductive structure is located where the Hengill fissure swarm intercepts the profile, it is most naturally interpreted as magmatic intrusions acting as a heat source for the geothermal system.

**Key words:** Brennisteinsfjoll, Epidote-Chlorite, geothermal, Hengill, Iceland, inversion, magnetotellurics, resistivity, smectite-zeolite.

## ۱ مقدمه

بهندرت متمن کز هستند (باربیر، ۲۰۰۲). برای داشتن انرژی زمین‌گرمایی پربار به مخزنی به اندازه کافی بزرگ از سنگ‌های نفوذپذیر که از حجم زیادی از شاره‌ها شامل آب یا بخار تشکیل شده باشد نیازمندیم. این مخزن به طور هیدرولوژیکی از راه درزها و شکاف‌ها که کانال‌هایی برای نفوذ آب باران به داخل هستند با مخزن داغ ارتباط پیدا می‌کند. این مقاله شامل تفسیر یک‌بعدی و دو‌بعدی داده‌های مگنتوتلوریک به منظور شناسایی مشخصه‌های یک میدان زمین‌گرمایی در جنوب غربی ایسلند است. این داده‌ها در سال ۲۰۰۰ با استفاده از سامانه‌های (Metronix GMS05) و (SPAMMK III) همراه با پیچه‌های القایی Metronix در یک نیم‌رخ شامل ۲۱ ایستگاه برداشت شد. در این مجموعه همچنین، مفاهیمی مانند شارش و انتقال گرمایی در زمین، انواع مخازن و محیط زمین‌شناسی مناطق زمین‌گرمایی و نیز روش مگنتوتلوریک به منزله موثرترین روش برای اکتشاف این مخازن توضیح داده شده است. در پایان یک مدل عام زمین‌گرمایی برای مناطق ولکانیکی عرضه شده است.

منابع زمین‌گرمایی انرژی‌های حرارتی قابل استخراج، با ارزش اقتصادی زیاد هستند. منشأ این گرمایی به ساختار داخلی کره زمین و فرایندهای فیزیکی که در آنجا رخداده دارد بستگی دارد. بررسی رفتار حرارتی زمین نشان می‌دهد که چگونه دما با عمق تغییر می‌کند و چگونه تغییرات دمایی ممکن است در طول دوران‌های زمین‌شناسی تغییر کرده باشد. میانگین تغییرات دمایی نزدیک سطح ( ${}^{\circ}\text{C}/\text{km}$ ) ۳۰ است، اما این مقدار در پوسته‌های قدیمی قاره‌ای ( ${}^{\circ}\text{C}/\text{km}$ ) ۱۰ و در نواحی با فعالیت آتش‌فشانی ( ${}^{\circ}\text{C}/\text{km}$ ) ۱۰۰ گزارش شده است. در حالت کلی، انتقال گرمایی از عمق به مناطق زیرسطحی از راه رسانش (Conduction) و همرفت (Convection) صورت می‌گیرد و شاره‌های سطحی شامل آب‌های باران و آب دریاچه‌ها در زمین نفوذ می‌کنند و در تماس با سنگ‌های داغ گرم می‌شوند و در حکم حامل عمل می‌کنند (باربیر، ۲۰۰۲). سفره‌های آب زیرزمینی محصور شده در فشار و دمای زیاد، مخزن زمین‌گرمایی را تشکیل می‌دهند و قسمت اصلی میدان‌های زمین‌گرمایی هستند. این مخازن در زیر سطح به طور نامنظم توزیع شده‌اند و

به طور کلی چهار نوع از سامانه‌های زمین‌گرمایی تعریف می‌شود که عبارت‌اند از: سامانه‌های گرمایی (هیدروترمال)، سامانه‌های سنگ گرم-خشک (Hot dry rock)، سامانه‌های تحت فشار (Geopressured) و سامانه‌های ماگمایی. سامانه‌هایی که در حال حاضر از آنها بهره‌برداری می‌شود سامانه‌های گرمایی هستند که به طور سنتی به دو سامانه میدان‌های آب غالب (Water-dominated) و میدان‌های بخارغالب (Vapour-dominated) تقسیم می‌شوند. میدان‌های آب غالب خود به دو دسته شامل میدان‌های آب داغ و بخارمرطوب تقسیم می‌شوند. دمای مخازن آب داغ در محدوده ۶۰ تا ۱۰۰ درجه سلسیوس تغییر می‌کند و معمولاً در عمقی از ۱۵۰۰ تا ۳۰۰۰ متر دیده می‌شود. مخزن این میدان‌ها ممکن است که فاقد پوشی از سنگ‌های نفوذناپذیر در حکم کلاهک باشد. میدان‌های بخارمرطوب که معمولاً منشأ ماگمایی دارند، شامل آب‌های تحت فشار در دماهای بالای ۱۰۰ درجه سلسیوس و مقادیر کمی بخار در قسمت‌های کم عمق‌تر و کم فشارتر مخزن هستند. در این مخازن معمولاً پوشی از یک سنگ ناتراوا وجود دارد تا از فرار بخار به سطح جلوگیری کند اما حضور پوش الزامی نیست.

مخازن بخارغالب، بخارهای خشک اشباع شده یا مقدار کمی بخارهای خیلی گرم در فشارهای بالای جو هستند به طوری که در مقایسه با میدان‌های بخارمرطوب، انتقال گرمایی آنها از عمق بیشتر صورت می‌گیرد. این میدان‌ها، میدان‌های خشک و گرم هم نامیده می‌شوند و در مناطق آتشفسانی جدید (میocene-کواترنری (Miocene-Quaternary)) واقع شده‌اند، بعضی از آنها در آتشفسان‌ها یا نزدیک آن واقع شده‌اند که این دلیلی بر وجود منبع ماگمایی است (گوپتا و روی، ۲۰۰۷). با توجه به دمای مخزن سامانه‌های زمین‌گرمایی را می‌توان به سه دسته تقسیم کرد. دماهای کمتر از ۹۰ درجه، سامانه‌های

## ۲ شارش و انتقال گرما در زمین

شارش گرمایی زمین ناشی از گرادیان زمین‌گرمایی و رسانش سنگ‌ها است. شارش گرمایی زمین معادل مقدار گرمایی است که از داخل زمین در یک واحد سطح و در واحد زمان آغاز می‌شود. تقریباً می‌توان گفت که فرایند رسانش، عامل اصلی انتقال گرما است و نقش مهمی در فرایند گرمایی سنگ کرده بازی می‌کند (گوپتا و روی، ۲۰۰۷). همرفت که شامل انتقال گرما از راه حرکت جرم است، موثرترین وسیله انتقال گرما در زمین در مقایسه با رسانش خالص است. تابش (Radiation) کمترین اهمیت را در فرایند انتقال گرما در زمین بازی می‌کند. پدیده انتقال گرمایی رسانشی با معادله فوریه به صورت زیر بیان می‌شود.

$$q = -k \nabla T \quad (1)$$

که  $q$  شارش گرما در واحد زمان و مکان،  $k$  ضریب رسانش گرمایی جسم (جسم همسانگرد) و  $\nabla T$  تغییرات دمایی است. علامت منفی به خاطر شارش گرما در جهت کاهش دما ظاهر شده است. در حالت خاص شارش گرما را در زمین معمولاً به صورت عمودی  $(k \frac{\partial T}{\partial Z})$  و به سمت پایین در نظر می‌گیریم.  $\left( \frac{\partial T}{\partial Z} \right)$  گرادیان زمین‌گرمایی نامیده می‌شود و واحد آن  $(^{\circ}C/Km)$  است (گوپتا و روی، ۲۰۰۷).

گرما از راه رسانش از حجم ماگمایی به سنگ‌های تراوای مخزن انتقال پیدا می‌کند. شاره‌های داغ اغلب از مخزن فرار می‌کنند، به سطح می‌رسند و فعالیت‌های مشهودی همچون چشمه‌های آب گرم (Hot Springs)، آبغشان‌ها (Fumaroles) و دودخان‌ها (Geysers) را به وجود می‌آورند (باربیر، ۲۰۰۲).

## ۳ انواع سامانه‌های زمین‌گرمایی

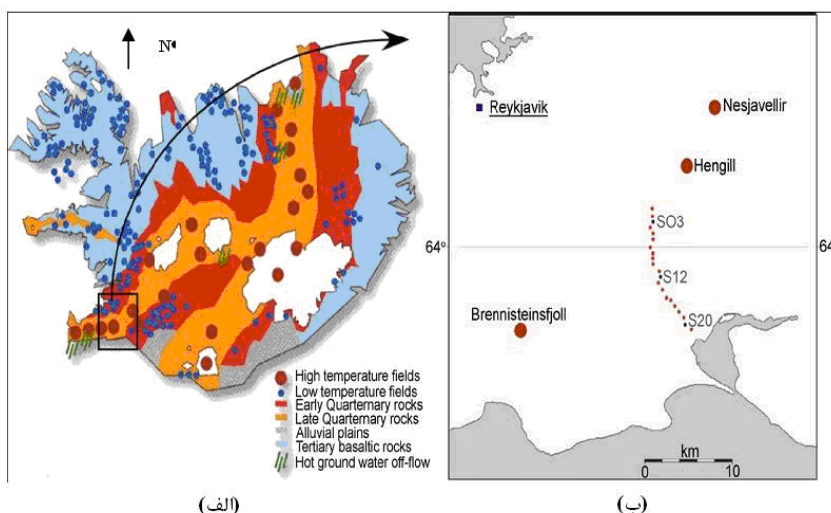
انفجار آتشفسانی بسیار شدید در اثر تبادل آب‌های زیرزمینی به بخار صورت می‌گیرد) هستند. به علاوه، رسوب‌هایی از سیلیس، تراورتن (Travertine) و برش‌های Phreatic لایه‌ای وجود دارند که دهانه آتشفسانی آب‌زاد (Craters) را احاطه کرده‌اند. (وهلتس و هیکن، ۱۹۹۲). چشمه‌های آب گرم مهم‌ترین نشانه‌های قابل رویت سامانه‌های زمین‌گرمایی آب داغ هستند که آب را به سطح زمین منتقل می‌کنند (وایت، ۱۹۷۳). رسوباتی از کلوخ‌های سیلیسی در بسیاری از مناطق گرمایی با دمای زیاد متناول هستند. رسوبات پشت‌های با چشمه‌های آب گرم جوشان همراه هستند و نشانه‌های بارزی از وجود مخازن گرمایی با دمای بالاتر از ۱۷۵ درجه هستند (فورنیر و رو، ۱۹۶۶). آب‌های باران در اطراف جسم مانگمایی یا در مدت چرخش عمیق در امتداد گسل‌ها گرم می‌شوند، این آب‌های داغ بعد از ترکیب شدن با آب‌های زیرزمینی خنک‌تر می‌شوند و با سنگ‌های نفوذپذیر در دمای تقریبی ۷۰ درجه به تعادل گرمایی می‌رسند (بارگار، ۱۹۷۸). دو نوع مدل پایه‌ای از تغییرات مربوط به میدان‌های آتشفسانی زمین‌گرمایی به نام‌های اسید-سولفات (Acid sulfate) و آدولاریا سریسیت (Adularia sericite) در شکل ۲ نشان داده شده‌اند.

کم‌دما، ۹۰-۱۵۰ درجه سامانه‌هایی با دمای متوسط و ۱۵۰-۲۴۰ درجه سلسیوس سامانه‌هایی با دمای زیاد نامیده می‌شوند (وایت و ولیامز، ۱۹۷۵).

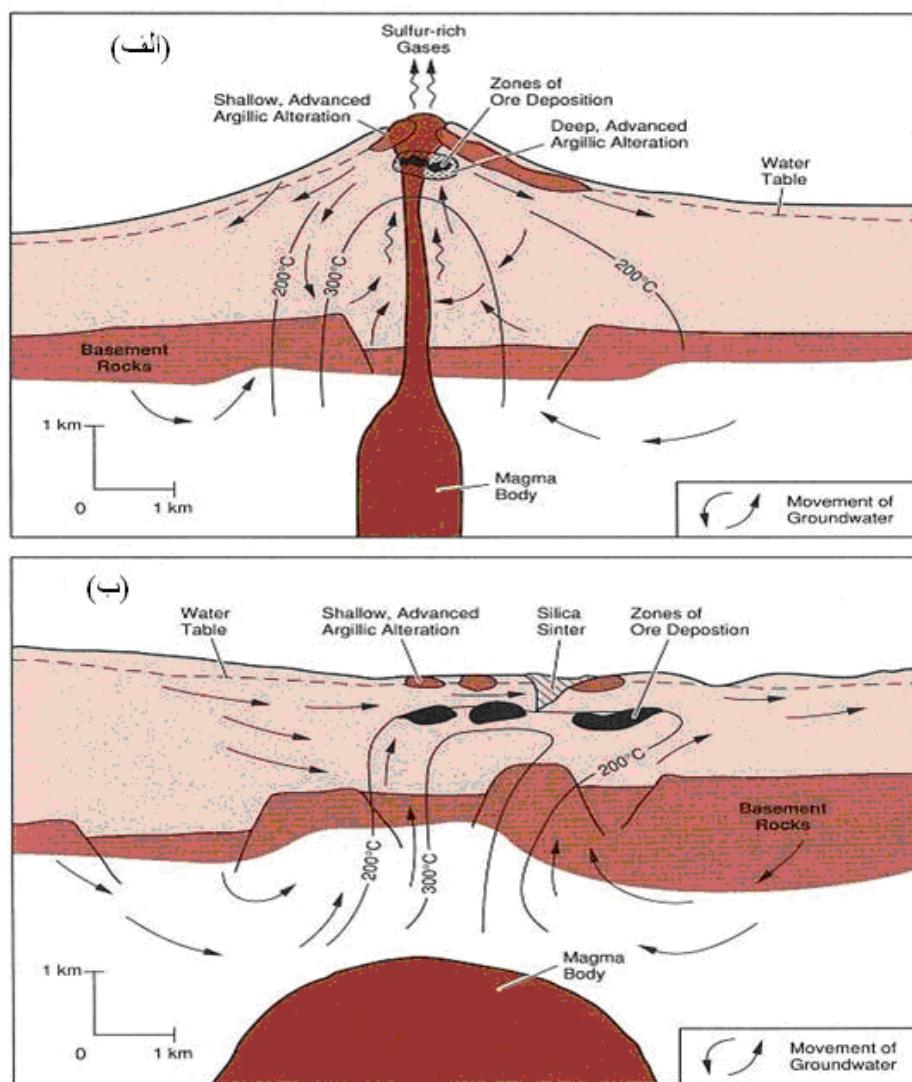
#### ۴ موقعیت زمین‌شناسی منطقه مورد بررسی و ویژگی‌های محیط‌های زمین‌شناسی حاوی مخازن زمین‌گرمایی

پوسته ایسلند بیشتر منشأ آتشفسانی، با هر دو نوع از سنگ‌های نفوذی و خروجی دارد که جنس آنها بیشتر از انواع بازالت‌های اقیانوسی، توف‌ها، سنگ‌های شیشه‌آواری (Hyaloclastites)، و بعضی از سنگ‌های اسیدی است و همگی این مواد تحت شرایط ریفتی فوران کرده‌اند (سموندسون، ۱۹۷۹). واحدهای مهم زمین‌شناسی و توزیع سامانه‌های زمین‌گرمایی در شکل ۱-الف و منطقه مورد بررسی در شکل ۱-ب نشان داده است.

واضح‌ترین توصیف از مخازن زمین‌گرمایی وقتی رخ می‌دهد که شاره‌ها در امتداد گسل‌ها و شکاف‌ها یا از میان سنگ‌های نفوذپذیر به بیرون نشست کنند. بسته به دمای مخزن و سرعت آبدهی، این نشانه‌های سطحی شکل‌های متفاوتی از این نشست شاره شامل دودخان، چشمه‌های گرم، چشمه‌های جوشان، آبغستان‌ها، و دهانه‌های آتشفسانی (که



شکل ۱. (الف) نمایش ساختارهای زمین‌شناسی و میدان‌های زمین‌گرمایی در ایسلند. (ب) توزیع سایت‌های مگنتوتولوریک در منطقه مورد بررسی.



شکل ۲. دو مدل از سامانه‌های گرمابی فسیل: (الف) سامانه‌ای که با گازهای ماقمایی اسیدی مشخص شده است: پیکان‌های موج‌دار نماینده گازهای غنی از سولفور ماقمایی بالارونده هستند. این گازها فشرده و اکسید می‌شوند تا شاره‌های اسیدی را تشکیل دهند که مسئول فرونشست و تغیرات رُسی در آتشفسان و در سطح هستند. (ب) سامانه تغیرات آدولاریا سریست که آب‌های کلردار pH طبیعی دارند. (وهلت و هیکن، ۱۹۹۲).

با  $pH$  طبیعی و آب‌های کلردار قلیایی شناخته می‌شود (شکل ۲-ب). ترتیب تغیرات، که در حکم دلیلی تجربی از دما و تراوایی در یک میدان آتشفسانی استفاده می‌شود، از راه بررسی کانی‌های ثانویه به دست می‌آید. برای مثال اپیدوت (Epidote) یک مشخصه از دمای زیاد و آدولاریا (Adularia) از مشخصه‌های دمای زیاد و تراوایی بیشتر در یک سامانه گرمابی هستند.

نوع اول (اسید-سولفات) در قسمت‌های بالای یک آتشفسان یا در امتداد شکاف حلقه کالدرایعنی جایی که مقدار ناچیزی آب زیرزمینی وجود دارد اتفاق می‌افتد (شکل ۲-الف). آب‌های اسید-سولفات در مکان‌هایی که آب‌های زیرزمینی با گازهای ماقمایی بالارونده ترکیب می‌شوند، شکل می‌گیرند. چرخه نوع دوم (آدولاریا سریست) وقتی رخ می‌دهد که جریانی از آب، خلی بالا یا در همسایگی یک منشأ گرمایی عمیق قرار گیرد و

و  $\delta$  عمق پوست بر حسب متر است که به منزله عمقی تعریف می‌شود که در آن دامنه موج الکترومغناطیسی به  $\frac{1}{e}$  مقدار اولیه‌اش در سطح کاهش می‌یابد. یک تقریب مناسب از این عمق به صورت رابطه زیر داده می‌شود:

$$\delta \approx 500 \sqrt{\frac{\rho}{f}} \quad (4)$$

در یک سامانه مختصات دکارتی نسبت  $\frac{E_x}{H_y}$  در سطح اهمیت خاصی دارد.

$$\frac{E_x}{H_y} = \frac{\omega\mu}{k} = (1+i) \left( \frac{\omega\mu}{2\sigma} \right)^{\frac{1}{2}} \quad (5)$$

از آنجاکه بسامد دقیقاً باید مشخص باشد، بنابراین زمان نسبی برداشت داده‌ها باید با دقت زیادی معلوم باشد. درنتیجه رابطه (5) مستقیماً رابطه بین میدان‌های اندازه‌گیری شده و رسانایی را نشان می‌دهد. در عمل

نسبت  $\frac{E_x}{H_y}$  متناسب با  $\frac{1}{\rho^2}$  است. با قرار دادن

$$Z_{xy} = \frac{E_x}{H_y} \text{ می‌توان رابطه زیر را به دست آورد،} \quad (6)$$

$$Z_{xy} = \frac{\omega\mu}{k} = (1+i) \sqrt{\frac{\rho\omega\mu}{2}}$$

و از آنجا

$$\rho_{xy} = \frac{Z_{xy} Z_{xy}^*}{\mu\omega} \quad (7)$$

که  $Z^*$  مزدوج مختلط  $Z$  است. فاز امپدانس بیانگر اختلاف فاز بین میدان‌های الکتریکی و مغناطیسی است. با استفاده از رابطه (6) مشاهده می‌شود که در یک نیم فضای همگن،  $E_x$  درجه نسبت به  $H_y$  تقدم فاز دارد. رابطه (7) معمولاً به صورت زیر بیان می‌شود:

$$\rho_{xy} = \frac{1}{\mu\omega} \left| \frac{E_x}{H_y} \right|^2 \quad (8)$$

## ۵ استفاده از روش مگنتوتلوریک به منزله مؤثرترین روش برای اکشاف مخازن زمین گرمایی

روش مگنتوتلوریک از جمله روش‌های ژئوفیزیکی است که به طور وسیع در اکشاف مخازن زمین گرمایی به کار می‌رود (پلرین و همکاران، ۱۹۹۶). این روش از میدان‌های طبیعی الکترومغناطیسی اطراف زمین، در حکم منشأ برای کاوش‌های زیر سطحی استفاده می‌کند. این میدان‌ها شامل طیف وسیعی از بسامدها است که در این میان از بسامدهای خیلی کم برای کاوش در اعمقی بیشتر از ده کیلومتر استفاده می‌شود. این بسامدهای کم با جریان‌های یون‌سپهری و مغناطیس‌سپهری ایجاد می‌شود که از برهم‌کنش پلاسمای گسیل شده از خورشیدباد با میدان مغناطیسی زمین ایجاد می‌شوند. در فاصله‌های دور از منشأ میدان الکترومغناطیسی حاصل یک موج تخت با بسامد متغیر است. سه مؤلفه میدان مغناطیسی و دو مؤلفه افقی میدان الکتریکی بعد از اندازه‌گیری بر حسب زمان به صورت رقمی درمی‌آید و روی آنها تحلیل طیفی صورت می‌گیرد. در مرحله بعد این طیف‌های متفاوت باید به مقاومت‌ویژه به صورت تابعی از عمق تبدیل شوند. در این تبدیل فرض می‌شود که یک رابطه خطی بین بُردار میدان‌های الکتریکی و مغناطیسی به صورت زیر وجود دارد:

$$H = Z_{ij} E \quad (2)$$

که  $Z$  امپدانس میدان الکترومغناطیسی است و با ساختار مقاومت‌ویژه و بسامد مشخص می‌شود. با توجه به معادلات ماکسول در هر بسامد زاویه‌ای  $\alpha$  در سطح یک نیم فضای همگن با رسانایی  $\sigma$  رابطه زیر برقرار است:

$$H = \frac{k}{\mu\omega} n \times E \quad (3)$$

که  $\alpha = \sqrt{\frac{\omega\mu\sigma}{2}} = \frac{1}{\delta}$  و  $k = (1-i)\alpha$  است. ثابت انتشار،  $n$  بُردار یکه عمود بر سطح و به سمت پایین

افقی میدان مغناطیسی را به مؤلفه قائم آن مربوط می‌کنند، گاهی اوقات بُردار تیپر نامیده می‌شوند. همان‌طور که در شکل‌های ۳-الف و ۳-ب دیده می‌شود داده‌ها در بسامدهای زیاد (۱۰ و ۱۰۰ هرتز) یک رسانایی مشهود را بین نیمرخ‌های  $D$  و  $B$  نشان می‌دهند.

این پیکان‌ها همدیگر را در محل نیمرخ  $C$  قطع می‌کنند که این دلیلی بر وجود ناحیه‌ای با رسانایی زیاد در عمق کم بین دو نیمرخ است. اگرچه پیکان‌های القایی در بسامدهای کمتر در شکل‌های ۳-ج و ۳-د با داده‌ها در بسامدهای زیاد شبیه نیستند ولی دلالت بر وجود یک رسانای دوبعدی در امتداد شمال غربی - جنوب شرقی دارند و با تصویر منطقه سازگار هستند. نواحی اطراف آن رسانا می‌توانند منشأ احتمالی رسانایی زیاد در بسامدهای کم باشد (هارینارایانا و دیگران، ۲۰۰۶).

**۷ تحلیل ابعادی با توجه به داده‌های مگنتوتولوریک**  
با تحلیل تانسور امپدانس،  $[Z]$ ، می‌توانیم ساختار ژئوکتریکی و مشخصه‌های هندسی مثل تحلیل ابعادی، شکل و جهت‌یابی آن را تعیین کیم. برای تحلیل ابعادی از پارامترهای گوناگونی استفاده می‌شود. پارامتر چاولگی (اسکیو Skew) (سویفت، ۱۹۶۷) در حکم نسبت مؤلفه‌های قطبی و غیرقطبی تانسور امپدانس تعریف می‌شود که در رابطه (۱۱) نشان داده شده است. این کمیت یک اندازه‌گیری از عدم تقارن محیط را عملی می‌سازد. در یک مدل دوبعدی و یک مدل سه‌بعدی که از نظر محوری متقارن است این پارامتر برابر صفر است. انحراف چاولگی از صفر وجود یک ساختار سه‌بعدی نامتقارن را مشخص می‌کند. شکل ۴ مقادیر چاولگی برای داده‌های مگنتوتولوریک برداشت شده اسکوئی و همکاران (۲۰۰۵) در یک منطقه زمین گرمایی واقع در جنوب غربی ایسلند را نشان می‌دهد.

وارد و هوهمن رابطه (۸) را به صورت زیر بازنویسی کردند:

$$Z_{xy} = (\omega \mu_0 \rho_a)^{\frac{1}{2}} e^{i\frac{\pi}{4}} = \left| \frac{E_x}{H_y} \right| e^{i(\varphi_E - \varphi_H)} = \left| \frac{E_x}{H_y} \right| e^{i\varphi} \quad (9)$$

که بیان می‌کند فاز امپدانس مربوط به اختلاف فاز بین  $E_x$  و  $H_y$  درجه است.

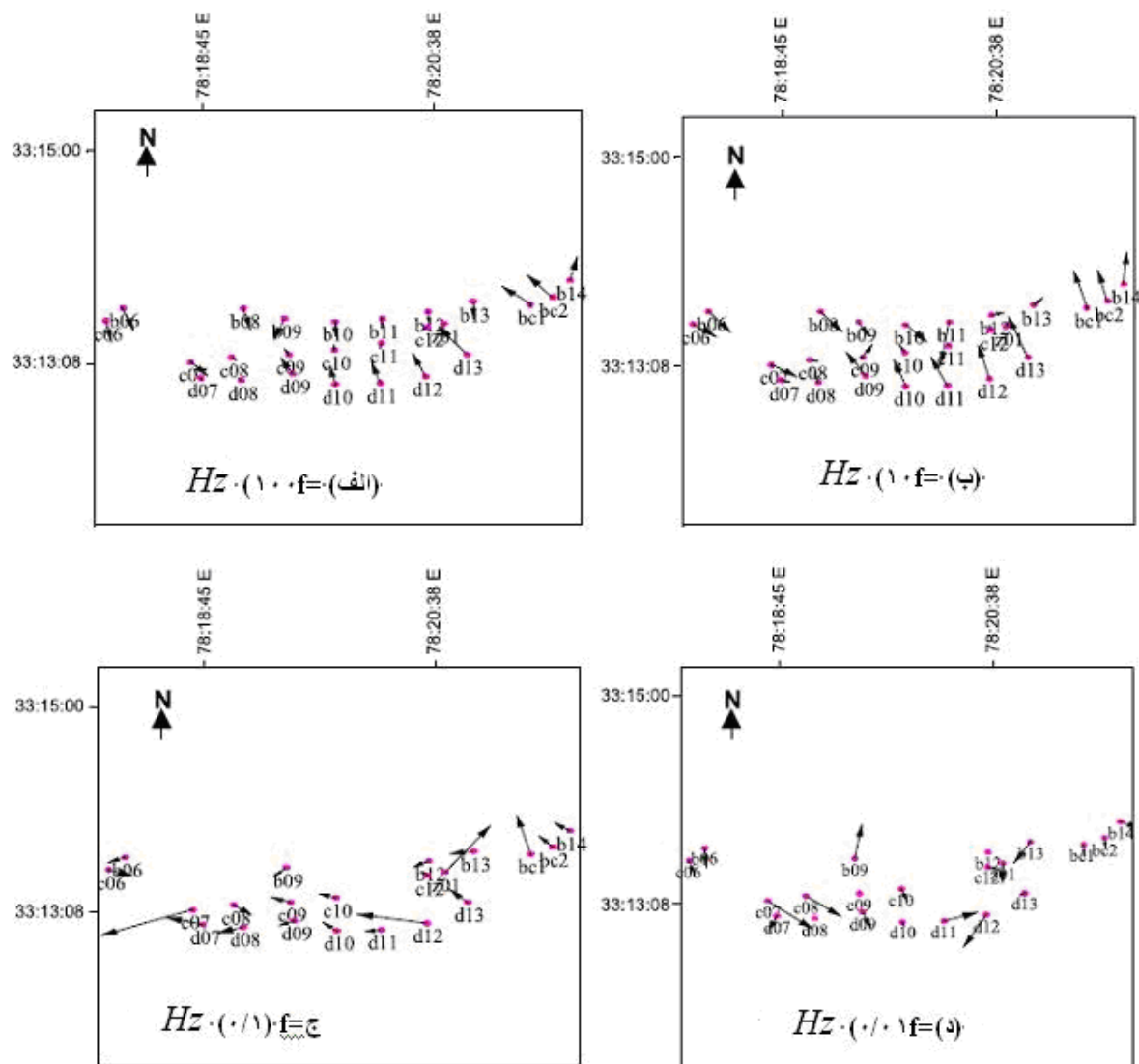
در حالت کلی  $H_x$  به  $H_y$  وابسته است و مقدار کمی هم به  $E_x$  وابستگی دارد. به طور مشابه،  $H_y$  باعث به وجود آمدن  $E_x$  و مقداری  $E_y$  می‌شود، بنابراین در هر بسامد انتظار می‌رود که یک سامانه خطی به شکل زیر رفتار کند:

$$\begin{bmatrix} E_x \\ E_y \end{bmatrix} = \begin{bmatrix} Z_{xx} & Z_{xy} \\ Z_{yx} & Z_{yy} \end{bmatrix} \begin{bmatrix} H_x \\ H_y \end{bmatrix} \quad (10)$$

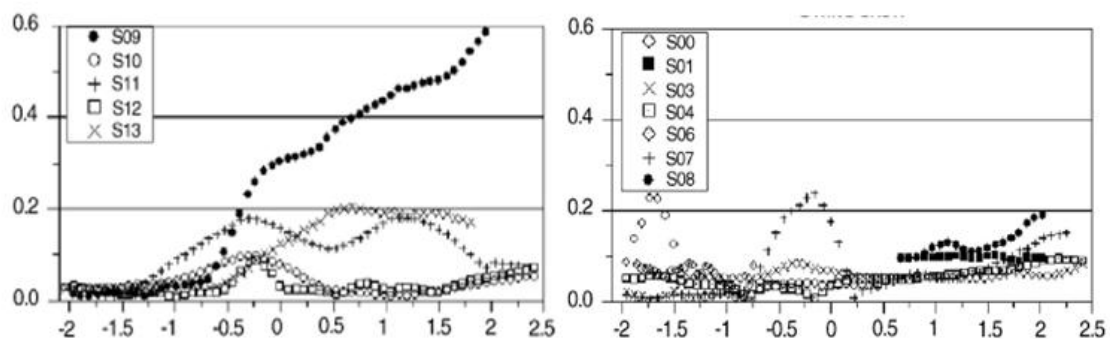
در عمل اندازه‌گیری میدان‌ها و مؤلفه‌های تانسور امپدانس در جهت‌های مختصات دیگری غیر از مختصات اصلی اندازه‌گیری می‌شود. برای مثال، جهت امتداد بهندرت در زمان داده‌برداری صحرایی معلوم است و برای بهدست آوردن  $E$  و  $H$  اصلی باید آنها را به اندازه زاویه‌ای که سامانه مختصات اندازه‌گیری صحرایی با دستگاه اصلی (که جهت امتداد ژئوکتریک در راستای یکی از محورهای آن است) چرخانده شود.

## ۶ پیکان‌های القایی (Induction Vectors)

پیکان‌های القایی بُردارهایی نشان‌دهنده نسبت مختلط مؤلفه عمودی میدان مغناطیسی به مؤلفه افقی آن هستند. از آنجاکه مؤلفه عمودی میدان مغناطیسی از تغییرات جانبی رسانایی تولید می‌شود، پیکان‌های القایی را می‌توان برای تشخیص این تغییرات به کار برد. در فرادراد پارکینسون جهت این بُردارها به سمت بی‌هنجری یعنی جایی که تمرکز جریان وجود دارد است. این بُردارها که مؤلفه‌های



شکل ۳. مولفه حقیقی پیکان‌های القابی پارکینسون برای ۴ بسامد مختلف در یک منطقه زمین‌گرمایی ناشی از برخورد دو پوسته قاره‌ای.

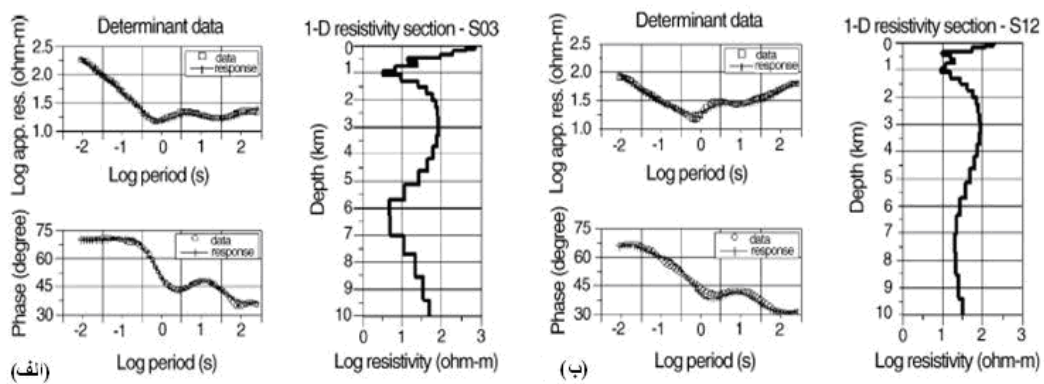


شکل ۴. مقادیر اسکیو برای داده‌های مگنتوتولوریک در ایستگاه‌های واقع شده در منطقه ایسلند.

است. از مدل یک بعدی در شکل ۵-الف مشاهده می شود که لایه مقاوم سطحی با مقاومت ویژه بیشتر از ۱۰۰ اهم متر با افزایش عمق به لایه ای رسانا با مقاومت کمتر از ۱۰ اهم متر می رسد. همچنین گذار به یک واحد مقاوم در عمقی نزدیک به ۱۲۰۰ متر مشاهده می شود. واحد مقاوم با ضخامتی در حدود ۲ کیلومتر از عمق ۲ کیلومتر به بعد مشاهده و تبدیل به یک ساختار رسانا در عمق ۴ کیلومتر می شود.

#### ۲-۸ وارونسازی دو بعدی

در ساختار زیرزمینی دو بعدی و سه بعدی ناهمسانگردی (Anisotropy) مقاومت ویژه ظاهری مشاهده می شود که این ناشی از مقادیر متفاوت اندازه گیری شده در مؤلفه های میدان های مغناطیسی و الکتریکی در جهت های متفاوت است. بنابراین، کاربرد مگنتوتولوریک یک بعدی در محیط هایی که ساختار ژئوالکتریکی پیچیده ای دارند نتایج نادرستی خواهد داد. در محیط های دو بعدی به خاطر ناپیوستگی جریان در مرز دو محیط با مقاومت ویژه متفاوت، دو مدد  $TM$  و  $TE$  را می توان برای تعیین مدل مقاومت ویژه نهایی در نظر گرفت. در مدد  $TE$  مؤلفه مغناطیسی میدان الکترومغناطیسی عمود بر امتداد ژئوالکتریک است اما در مدد  $TM$  مؤلفه الکتریکی این میدان عمود بر فصل مشترک دو محیط است.



شکل ۵. داده های مقاومت ویژه و فاز از امپدانس دترمینان و پاسخ مدل یک بعدی بر حسب عمق.

$$Skew = \left| \frac{Z_{xx} + Z_{yy}}{Z_{xy} - Z_{yx}} \right| \quad (11)$$

همان طور که مشاهده می شود، مقادیر چاولگی معمولاً کمتر از ۰/۰ (نزدیک به صفر) هستند که دلالت بر یک ساختار یک بعدی یا دو بعدی دارند. در بعضی از سایت ها و بسامدها (برای مثال در سایت ۰۹ در دوره تناوب های بیشتر از یک ثانیه) آشفتگی گالوانیک یا رفتار سه بعدی وجود دارد. همچنین در دوره تناوب های کوتاه در سایت های ۰۰ و ۰۷ مقدار چاولگی بیشتر از ۰/۰ است که دلالت بر وجود اثرات سه بعدی محلی یا نوفه های بشری دارد. تحقیقات صورت گرفته در زمینه تحلیل ابعادی منطقه ای اثبات می کند که آشفتگی های سه بعدی داده ها عمده تا به خاطر طبیعت گالوانیک آنجا است.

## ۸ وارونسازی (Inversion) داده ها

### ۱-۸ وارونسازی یک بعدی

طرح های معکوس داده های مگنتوتولوریک ساده و سریع است که برای به دست آوردن توزیع مقاومت ویژه لایه های افقی به عنوان تابعی از عمق به منظور تفسیر کمی کافی است. در مورد این بررسی موردنی در ایسلند، از وارونسازی یک بعدی با استفاده از برنامه ای که پدرسون نوشته، استفاده شده است. مدل مقاومت ویژه، داده ها و پاسخ های مدل برای دو سایت در شکل ۵ نشان داده شده

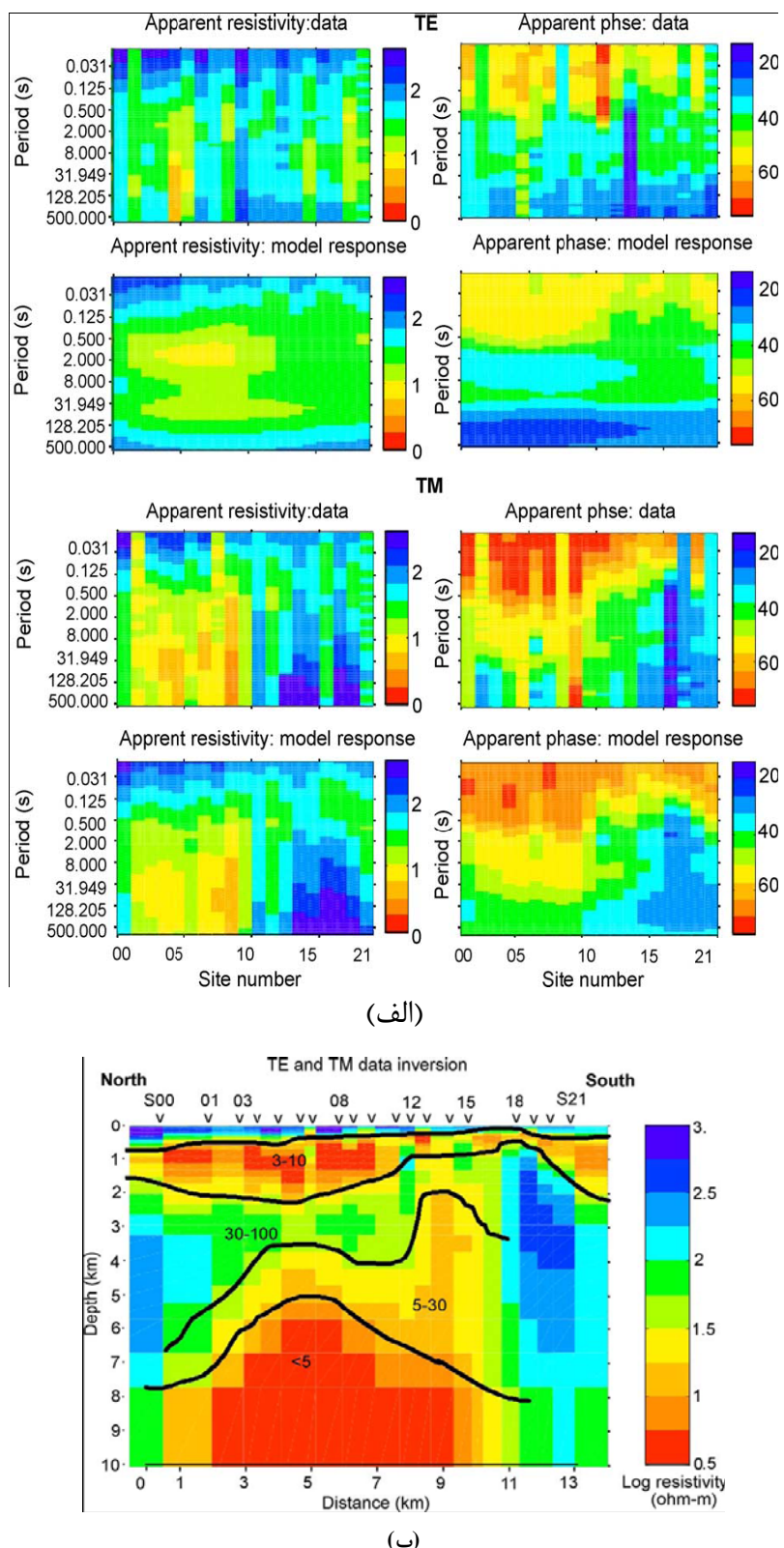
می‌شود که در حکم منطقه ذوب‌بخشی یا یک ناحیه متخلخل با شاره‌های یونیزه شده در بالای یک منبع داغ گرمایی تفسیر می‌شود. با توجه به نشانه‌های سطحی موجود در منطقه، این توده رسانا به منزله یک منبع داغ برای سامانه زمین‌گرمایی تفسیر می‌شود. با حرکت به سمت شمال، نیم‌رخ رسانش الکتریکی کاهش می‌یابد در حالی که یک تماس عمودی نسبتاً ناگهانی با سنگ‌کف اقیانوس در جنوب دیده می‌شود. همچنین با توجه به شکل ۶-ب در زیر سایت‌های ۱۳ و ۱۴ یک، گذار ناگهانی به مقادیر ویژه متوسط در عمق‌های ۷ تا ۸ کیلومتر وجود دارد و جسم رسانای عمیق آشکار می‌شود. این گذار جانبی را می‌توان در مُد  $TM$  داده‌ها و پاسخ مدل آن مشاهده کرد (شکل ۶-الف) که از جنوب به شمال فاز از مقادیر کم افزایش می‌یابد ولی مقاومت ویژه کاهش می‌یابد.

**۹ پیشنهاد یک مدل عمومی مخازن زمین‌گرمایی**  
مدل عام زمین‌گرمایی در شکل ۷ یک نوع معمول از سامانه زمین‌گرمایی آتش‌شناختی است، اما عناصر و مولفه‌های مشابهی در مخازن دیگر با دمای زیاد پیدا می‌شود. شاره‌ها و گازهای ماقمایی از راه سنگ‌های ناتراوا بالا می‌آیند و وارد ناحیه‌های شکسته شده با نفوذپذیری زیاد می‌شون؛ آن‌جاکه در آن جریان همرفتی در محدوده دمایی ۲۳۰ تا ۳۳۰ درجه وجود دارد. دگرسانی گرمایی مربوط به سنگ‌های متخلخل در مخزن معمولاً به سبب پاره‌ای ویژگی‌ها، کانی‌های رُسی ایلیت-کلریت (Illite-chlorite) بر جای می‌گذارد. این کانی‌ها در کلاهک آرژیلیتی (Argillite) بالای ناحیه دگرسانی پروپیلیتیک (Propylitic) تشکیل می‌شوند. گاز و آب از مخزن نشت می‌کند تا یک هاله دگرسانی رُسی (اسمکتیت-ایلیت (Smectite-illite)) با نفوذپذیری کم یا یک پوش رُسی و آب‌های کم‌عمقی که جریان به سمت خارج دارند تشکیل شود.

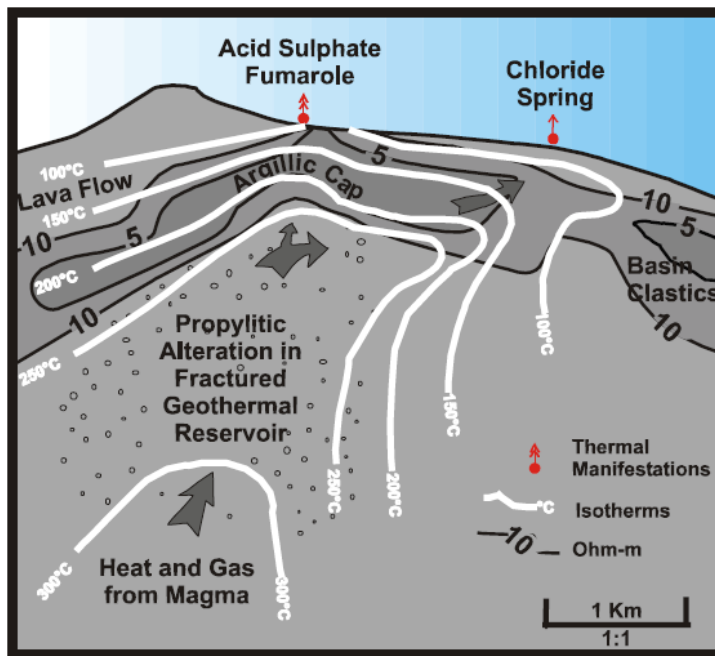
این دو مُد حساسیت‌های متفاوتی نسبت به ساختارهای نزدیک سطح و عمیق دارند و در تقریب دو بعدی اجسامی که در حالت واقعی سه بعدی هستند با دقتهای متفاوت عمل می‌کنند. مُد  $TM$  به ساختارهای نزدیک سطح و مُد  $TE$  به ساختارهای عمیق حساس‌تر است. مُد  $TM$  در مقابل اثرات سه بعدی ساختارهای رسانا پایدارتر است درحالی که مُد  $TE$  در مقابل اثرات سه بعدی ناشی از ساختارهای نارساناتر پایدارتر است. مُد  $TM$  در مقابل جابه‌جایی ایستای (Static-Shift) حاصل از بی‌هنگاری‌های سه بعدی نزدیک سطح تأثیرپذیرتر از مُد  $TE$  است. در این بررسی موردی از یک برنامه نوشته شده سیریپونواراپون و اگبرت برای  $TM$  وارون‌سازی دو بعدی مدهای مشترک  $TE$  و استفاده شده است. داده‌ها و پاسخ مدل در شکل ۶-الف و joint  $TE$ - $TM$  در نشان داده شده است.

مشاهده می‌شود که یک لایه مقاوم سطحی با مقاومت ویژه‌ای بیشتر از ۴۰۰ اهم‌متر روی یک لایه با رسانایی زیاد (کمتر از ۱۰ اهم‌متر) با ضخامت متغیر قرار گرفته است. لایه مقاوم بالایی به منزله لایه بازالتی متخلخل شناخته شده است و همچنین در عمق تقریبی ۴۰۰ متر، لایه دوم در حکم ناحیه اسماکتیت-زئولیت (Smectite-Zeolite) تفسیر می‌شود. قسمت جنوبی نیم‌رخ با یک سنگ کف مقاوم (تقریباً ۱۰۰۰ اهم‌متر) مشخص شده است، یعنی جایی که در وسط نیم‌رخ لایه رسانای بالایی ( مقاومت ویژه کمتر از ۱۰ اهم‌متر) با لایه‌ای مقاوم (۱۰۰-۳۰۰ اهم‌متر) دنبال می‌شود.

در زیر این ناحیه رسانا یک ناحیه با رسانایی کم مشاهده می‌شود که به منزله ناحیه کانه‌زایی کلریت-اپیدوت (Chlorite-Epidote) شناخته می‌شود. در اعماق بیشتر یک ساختار با رسانایی زیاد (کمتر از ۵ اهم‌متر) دیده



شکل ۶. (الف) داده‌های مقاومت ویژه ظاهری و فاز برای مدهای  $TE$  و  $TM$  و پاسخ وارونسازی دوپُعدی. ب) مدل دوپُعدی حاصل از وارونسازی مشترک داده‌های  $TM$  و  $TE$



شکل ۷. مدل عمومی زمین‌گرمایی که نشان‌دهنده عناصر مفهومی کلیدی در تفسیرهای جامع مقاومت‌ویژه  $MT-TDEM$ ، زمین‌شناسی و ژئوشیمی است. (کامینگ، ۲۰۰۰).

و همکاران، ۲۰۰۰). کاهش تخلخل هم در مقاومت‌ویژه اثر می‌گذارد. در شکل ۷ یک قله منطقه‌ای در مرکز پوش رُسی و در زیر یک دودخان نشان داده شده است. گازهای خارج شونده از این دودخان اثبات می‌کنند که آن قله با جریانی رو به بالا و با دمای زیاد ایجاد شده است که در یک ناحیه نفوذپذیر در مخزن کم عمق است.

#### ۱۰ نتیجه‌گیری

داده‌های نشان‌داده شده در این مقاله در جنوب شرقی ریکیاویک (Reykjavik) در کشور ایسلند جمع‌آوری شد. مقدار نووفه‌های صنعتی در این منطقه کم است که این امر منجر به بدست آوردن داده‌های  $MT$  با کیفیت زیاد از راه اعمال کردن روش‌های پردازشی پایدار (Robust Methods) شده است. بررسی پارامتر چاولگی (Rock Properties) نشان می‌دهد که امپانس‌ها به خوبی برای مدل‌های یک‌بعدی یا دو‌بعدی توصیف شده‌اند. این تحقیق بیان می‌کند که یک زون دگرسانی در زیر سطح وجود دارد

مدل مقاومت‌ویژه زمین‌گرمایی نشان داده شده در شکل ۷ مربوط به مدل یک مخزن مرکب (Composite) است و بیان می‌کند که چگونه روش  $MT-TDEM$  می‌تواند هندسه مخزن زمین‌گرمایی را به تصویر بکشد. اگرچه ناحیه اکتشافی در دامنه یک آتش‌فشان قرار گرفته است، اما بسیاری از مفاهیم آن را می‌توان برای دیگر سامانه‌ها به کار برد. تغییرات مقاومت‌ویژه در مدل زمین‌گرمایی مربوط به تغییرات در شوری، اشباع آب، دما، تخلخل و ظرفیت مبادله کاتیون‌ها در کانی‌های رُسی آبدار شده است. آخرین اثر یاد شده (ظرفیت مبادله کاتیون‌ها)، مهم‌ترین مسئله در تفسیر رساناهای کمتر از ۱۰ اهم‌متر در شکل ۷ و مربوط به ناحیه دگرسان رُسی است. افزایش مقاومت‌ویژه از مقادیر کمتر از ۵ اهم‌متر در ناحیه رُسی تا مقادیر بزرگ‌تر از ۱۰ اهم‌متر در مخزن با دمای بالا که از نظر پروپیلیتیکی دگرسان است مربوط به گذار از کانی رُسی اسمکتیت آبدار به کانی رُسی ایلیت با مقاومت‌ویژه بیشتر در دمای ۲۰۰ درجه است (گوندرسون

- content of water from hot springs and wet-steam wells, *Am. J. Sci.* **264**, 685–697.
- Gunderson, R., Cumming, W., Astra, D. and Harvey, C., 2000, Analysis of Smectite clays in Geothermal Drill Cutting by the Methylene Blue Methode for well site Geothermometry and Resistivity Sounding Correlation: paper accepted for publication, WGC, Tokyo.
- Gupta, H. and Roy, S., 2007, *Geothermal Energy: An Alternative Resource For The 21st Century*, published by the Elsevier.
- Harinarayana, T., Abdul Azeez, K. K., Murthy, D. N., Veeraswamy, K., Eknath Rao, S. P., Manoj, C. and Naganjaneyulu, K., 2006, Exploration of geothermal structure in Puga geothermal field, Ladakh Himalayas, India by magnetotelluric studies, *Journal of Applied Geophysics* **58** (2006) 280–295. Heald, P.
- Oskooi, B., Pedersen, L. and Smirnov Maxim, B., 2005, The deep geothermal structure of the Mid-Atlantic Ridge deduced from MT data in SW Iceland, *Physics of the Earth and Planetary Interiors* **150**, 183–195.
- Pellerin, P., Johnston, J. M. and Hohmann, G. W., 1996, A numerical evaluation of electromagnetic methods in geothermal exploration, *Geophysics*, **61**, 121–130.
- Sæmundsson, K., 1979, Outline of the geology of Iceland. *J'okull* **29**, 7–28.
- Siripunvaraporn, W. and Egbert, G., 2000, An Efficient data-subspace inversion method for 2-D magnetotelluric data. *Geophysics* **65**, 791–803.
- Swift, C. M., 1967, A magnetotelluric investigation of an electrical conductivity anomaly in the south west United States, PH.D. Thesis, M. I. T, Cambridge, Mass.
- White, D. E., 1973, Characteristics of geothermal resources and problems of utilization. In: P. Kruger and C. Otte (Eds.), *Geothermal energy—resources, production, stimulation*. Stanford Univ. Press, Stanford, California, pp. 69–94.
- White, D. E. and Williams, D. L. (Eds.), 1975, Assessment of geothermal resources of the United States—1975. U.S. Geol. Surv. Circ. 726, 155 pp.
- Wohletz, K. and Heiken, G., 1992, *Volcanology and Geothermal Energy*, University of California Press, Berkeley, 432pp.

که هیچ نشانه سطحی در بالای آن و در سطح دیده نمی‌شود. با توجه به وجود زون دگرسانی و پوش رُسی که با استفاده از وارونسازی دو بعدی مگنتولوریک به دست آمد، این سامانه با دمای زیاد را می‌توان جزء میدان‌های آب‌غالب و از نوع بخار مرطوب طبقه‌بندی کرد. این نتیجه پیشنهاد می‌کند که چرخش شاره‌های گرمابی در عمق وجود دارد. نتیجه مهم اینکه ساختار مقاومت ویژه به دست آمده در اعماق ۲ تا ۴ کیلومتر، کاملاً با ساختارهای دیگر زمین گرمابی بررسی شده در منطقه مطابقت دارد.

اگرچه تلفیق روش‌های متفاوت ژئوفیزیکی برای شناسایی منابع زمین گرمابی مفید واقع می‌شوند ولی تصویری که مقاطع مقاومت ویژه به دست می‌دهند در اکتشافات زمین گرمابی نقش اساسی دارند. روش مگنتولوریک به خاطر توانایی قابل اعتمادش در به تصویر کشیدن نمونه‌های وابسته به تغییرات دما در اطراف مخازن زمین گرمابی به روش استاندارد صنعتی برای اکتشاف این اهداف تبدیل شده است. اگرچه شناسایی رساناهایی مثل ناحیه دگرسان رُسی ذاتاً مشکل است، اما این روش بهترین تشخیص دهنده هندسه بالای مخازن زمین گرمابی است.

#### منابع

- Barbier, Enrico., 2002, Geothermal energy technology and current status: an overview: Renewable and Sustainable Energy Reviews, **6**, 3–65.
- Bargar, K. E., 1978, Geology and thermal history of Mammoth Hot Springs, Yellowstone National Park, Wyoming, U. S. Geol. Surv. Bull. 1444, 55 pp.
- Cumming, William, 2000 *Geothermal Geoscience*, Gregg Nordquist, Unocal Corporation, and Doddy Astra, Unocal Geothermal of Indonesia, Geophysical exploration for geothermal resource, an application for combined MT-TDEM.
- Fournier, R. O. and Rowe, J. J., 1966, Estimation of underground temperatures from the silica